

mPem 蛋白相作用分子的筛选与鉴定

Screening and Detecting of Proteins Interacting with mPem

罗志文, 郭芬, 李月琴, 李实骞, 张欣, 李弘剑, 周天鸿*

LUO Zhi-Wen, GUO Fen, LI Yue-Qin, LI Shi-Qian, ZHANG Xin, LI Hong-Jian and ZHOU Tian-Hong*

暨南大学生命科学技术学院, 广州 510632

College of Life Science and Technology, Jinan University, Guangzhou 510632, China

摘要 *mPem* 是同源异型框基因, 其 C 末端编码同源异型域。为进一步研究 *mPem* 蛋白在胚胎发育和生殖组织发育过程中的作用, 利用 GAL4 酵母双杂交系统筛选小鼠 7d 胚胎 cDNA 文库, 共获得 3 个与 *mPem* 蛋白相作用的分子。其中之一为 Mdfic, 一种新的转录调控因子。进一步的酵母双杂交和体外 GST-Pull down 试验再次确认两者之间的相互作用。Mdfic 与 *mPem* 蛋白之间的相互作用暗示两者有可能组成转录调控复合体, 共同参与胚胎分化的调控, 为两种蛋白功能的研究提供新的思路。

关键词 *mPem*, GAL4 酵母双杂交系统, Mdfic

中图分类号 Q71 **文献标识码** A **文章编号** 1000-3061(2006)01-0125-06

Abstract *mPem*, a homeobox gene, is expressed in a time and stage specific manner during murine ontogeny. *Pem* transcripts are abundant in 7- and 8-day mouse embryos, but decrease precipitously thereafter. On Day 9 they become abundant in placenta and yolk sac, persisting there until parturition. Although *Pem* transcripts are not detectable in most of adult tissues, they are present in reproductive system such as testis, epididymis and ovary. This indicates a important role for *Pem* during embryogenesis and reproductive development.

To study the function of *mPem* protein, we used a GAL4 based yeast two-hybrid assay to screen a 7-day mouse embryo library with full-length of *mPem*. 3 proteins were found interacting with *mPem* protein. One of theses is Mdfic. We confirmed the interaction between *mPem* and Mdfic in yeast and in vitro.

Mdfic, MyoD family inhibitor domain containing, encodes the myoD family inhibitor domain (I-mfa domain). The interaction between *mPem* and Mdfic suggested they maybe form the transcriptional regulator complex to regulate embryo differentiation.

Key words *mPem*, yeast two-hybrid, Mdfic

Received: September 12, 2005; Accepted: November 3, 2005.

This work was supported by a grant from the National Natural Science Foundation of China (No.39770411).

* Corresponding author. Tel: 86-20-85226386; E-mail: tzth@jnu.edu.cn

国家自然科学基金资助项目(No.39770411)。

Pem 基因是美国 Wilkinson 等 1990 年在小鼠 T 淋巴瘤 cDNA 文库中发现的, 因该基因在胎盘 (Placenta) 和胚胎 (Embryo) 中呈时间特异性 (Stage specific) 表达, 故命名为 *Pem*^[1]。*mPem* 的 cDNA 长 839bp, 编码 210 个氨基酸残基, 其中 116~175 个氨基酸残基与果蝇同源异型框基因家族中的 *prd* 类 (paired class) 的同源异型域 (Homeodomain) 极为相似^[2]。*Pem* 基因虽属 *HOX* 基因, 但是个孤散子 (orphan), 与其他 *HOX* 基因不同, 其定位于 X 染色体近侧端的 *Hprt* 区内^[3,4]。

Pem 基因的表达具有明显的时间和组织特异性: 鼠胚发育的第 6 天, *Pem* 开始在胚胎中表达, 第 7~8 天, 表达量达到最高, 随后迅速减少; 而在胎盘和卵黄囊中, 第 7~8 天时几乎检测不到 *Pem* 的转录, 到了第 9 天大量表达并持续到分娩为止^[1,2]。*Pem* 基因在大部分成年组织中不表达, 但能够特异地在生殖器官如睾丸、附睾等中表达, 尤其优先在产生精液的上皮细胞中表达。研究表明, *Pem* 特异地在附睾近侧尾部和远侧的中部表达, 此处是精子获得运动性和受精能力的地方^[5], 暗示 *Pem* 蛋白可能在胚胎发育、生殖组织的发育、精子的生成和成熟中发挥重要作用。为了进一步研究小鼠 *Pem* 蛋白的功能, 本实验以 *mPem* 为诱饵蛋白, 利用 GAL4 酵母双杂交系统筛选小鼠 7d 胚胎 cDNA 文库, 以期获得与 *mPem* 蛋白相作用的分子, 为 *mPem* 蛋白功能的研究提供线索。

1 材料和方法

1.1 材料

Matchmaker GAL4 酵母双杂交系统 3 包括酵母菌株 AH109, 载体 pGBKT7、pGADT7 以及阴性对照质粒 pGBKT7-Lam、pGBKT7-53、pGADT7-T 购自 Clontech 公司。含有 *mPem* 通读框的 pEGFP-mPem 质粒由美国 Wilkinson MF 教授惠赠。*E. coli* DH5 α 菌株由实验室保存。小鼠 7d 胚胎 cDNA 文库购自 Clontech 公司。培养基以及各种氨基酸购自 Amersco 公司。分子生物学试剂(包括酶、Marker、X-gal 等) 分别购自 TaKaRa 生物科技有限公司和 Sigma 公司。 35 S-Met 和 Glutathione-Sepharose 4B 颗粒购自 Amersham 公司。TNT T7 体外转录翻译系统试剂盒购自 Promega 公司。

1.2 方法

1.2.1 诱饵质粒 pGBKT7-mPem 的构建及其自激活活性的检测: 以 pEGFP-mPem 为模板, 上游引物为 5'

T TCC GTT CAT ATG GAA GCT GAG GGT TCC AGC 3', 下游引物为 3' CGC TGT GGC TCT AAA ATT CAG CTC GGA CAC 5', 采用 PCR 方法扩增 *mPem* 基因的 CDS 序列, 并分别在 5' 端加入 *Nde* I 酶切位点(下划线区域), 在 3' 端加入 *Sal* I 酶切位点(下划线区域)。PCR 扩增产物胶回收后经 *Nde* I 和 *Sal* I 双酶切, 并克隆至 pGBKT7 载体中, 转化 *E. coli* DH5 α 。pGBKT7-mPem 转化子经 PCR 鉴定、双酶切鉴定后递交上海博亚生物工程有限公司进行序列测定。融合区域的通读框经序列分析正确后, 采用 PEG-LiAC 方法将该诱饵质粒 pGBKT7-mPem 转染酵母菌株 AH109, 并检测其自激活活性。

1.2.2 酵母双杂交筛选: 采用 PEG-LiAC 方法将诱饵质粒 pGBKT7-mPem 和构建在 pACT2 载体上的小鼠 7d 胚胎 cDNA 文库质粒共转染酵母菌株 AH109。新鲜制备的 AH109 感受态细胞 (8mL) 与 pGBKT7-mPem 诱饵质粒 (1.0mg)、构建在 pGADT7 载体上的小鼠 7d 胚胎 cDNA 文库质粒 (0.5mg)、鲤鱼精 DNA (20mg) 混合后加入 1 × PEG3350/LiAC 溶液 (60mL), 彻底混匀后 30℃ 孵育 30min。之后, 加入 7mL DMSO, 混匀后 42℃ 孵育 15min。离心后的菌体重新悬浮在 10mL TE (pH7.0), 并涂布在 SD/-Trp-Leu 平板上 30℃ 倒置培养 48h。阳性克隆先后影印到 SD/-Trp-Leu-His 和 SD/-Trp-Leu-His-Ade 平板上。

1.2.3 β -半乳糖苷酶活性检测: 将酵母克隆点于 Whatman # 5 滤纸上, 液氮中反复冻融 3 次, 每次 10s, 恢复至室温后将滤纸放于浸有 2mL Z buffer ($\text{Na}_2\text{HPO}_4 \cdot 7\text{H}_2\text{O}$ 16.1mg/mL, $\text{NaH}_2\text{PO}_4 \cdot \text{H}_2\text{O}$ 5.50 mg/mL, KCl 0.75mg/mL, $\text{MgSO}_4 \cdot 7\text{H}_2\text{O}$ 0.25mg/mL), 5.4 μ L β -巯基乙醇和 33.4 μ L X-gal (20mg/mL) 的滤纸上, 置于 30℃ 培养箱内, 直至蓝色出现。8h 之内变蓝为阳性克隆。

1.2.4 阳性酵母克隆的鉴定与分析: 利用溶细胞酶法抽提阳性酵母克隆的质粒, 并将其转化入宿主菌 *E. coli* DH5 α 中扩增, 碱裂解法少量抽提质粒。阳性克隆质粒中的 AD 插入片段采用 PCR 方法扩增, 上游引物: 5' AAG TGA ACT TGC GGG GTT TTT CAG TAT CTA 3', 下游引物: 3' CCA AAC CAC CCC ATA GAA GTA GTA GCT TAT 5'。PCR 扩增产物用 *Hae* III 酶切鉴定, 琼脂糖初步分析其组成。不同酶谱的库质粒递交上海博亚生物工程有限公司进行序列测定, 所测得的序列在 GenBank 上进行同源性搜索和序列比对分析。

1.2.5 GST-pull down 试验: 将 pGEX4T3 质粒、

pGEX4T3-mPem 融合质粒分别转化入常规表达菌株 *E. coli* BL21 中, 37℃ 培养过夜, 次日按 1/10 体积转接, 继续培养 3h 后, 加入终浓度 1mmol/L IPTG, 37℃ 培养 6h。收集到的菌体使用溶菌酶裂解, 4℃ 离心取上清, 加入 20μL 平衡过的 Glutathione-Sepharose 4B 颗粒, 20℃ 振荡孵育 30min 后, 使用 Binding/Wash 缓冲液 (4.2mmol/L Na₂HPO₄, 2mmol/L KH₂PO₄, 140mmol/L NaCl, 10mmol/L KCl) 冲洗 3 次。Mdfic 纯蛋白在体外以 pGBKT7-Mdfic 为模板, 利用 TNT 体外转录翻译试剂盒制备并用³⁵S-Met 标记。³⁵S-Met 标记的 Mdfic 各 10μL 分别加入到处理后的 Glutathione-Sepharose 4B 颗粒中, 4℃ 过夜孵育后, 颗粒使用 Binding/Wash 缓冲液冲洗 3 次, SDS-PAGE 电泳后, 利用 Typhoon 进行同位素扫描分析。

2 结果

2.1 酵母双杂交诱饵表达载体的构建、鉴定及其自激活作用检测

利用 PCR 方法以 pEGFP-mPem 为模板, 扩增全长的 *mPem* 通读框序列, 并将其克隆至 pGBK7 载体中。pGBK7-mPem 转化子经 PCR、双酶切鉴定后递交上海博亚生物有限公司测序(结果未显示), 测序结果表明插入序列和通读框均正确。将 pGBK7-mPem 诱饵质粒转化入酵母菌株 AH109 中, 并涂布在 SD/-Trp 平板上。挑选 6 个在 SD/-Trp 平板上生长的克隆分别划线于 SD/-Leu、SD/-Ura、SD/-Trp、SD/-His 四种平板上, 可见其在 SD/-Ura、SD/-Trp 上生长, 而在 SD/-Leu、SD/-His 上不生长。 β -半乳糖苷酶活性检测表明所有的克隆均为白色。这些结果表明 mPem 在酵母宿主菌 AH109 中无自激活作用。结果如图 1 所示。

2.2 与 mPem 蛋白相互作用分子的筛选

利用 PEG-LiAC 的方法, 将 pGBK7-mPem 诱饵质粒和构建在 pACT2 载体上的小鼠 7d 胚胎 cDNA 文库质粒共转染至酵母宿主菌 AH109 中, 转化液涂布在 50 块 SD/-Trp-Leu 平板上, 共获得 5.2×10^7 个转化子。从平板上收集酵母转化菌并滴定。取 1.57×10^8 个转化子平铺在 SD/-Trp-Leu-His 平板上, 其上的克隆随即影印到 SD/-Trp-Leu-His-Ade 平板上, 共得到 298 个可以在 SD/-Trp-Leu-His-Ade 平板上生长的克隆。检测该 298 个克隆的 β -半乳糖苷酶活性, 结果显示其中 53 个克隆 β -半乳糖苷酶活性为阳性(图 2), 确定为阳性克隆。

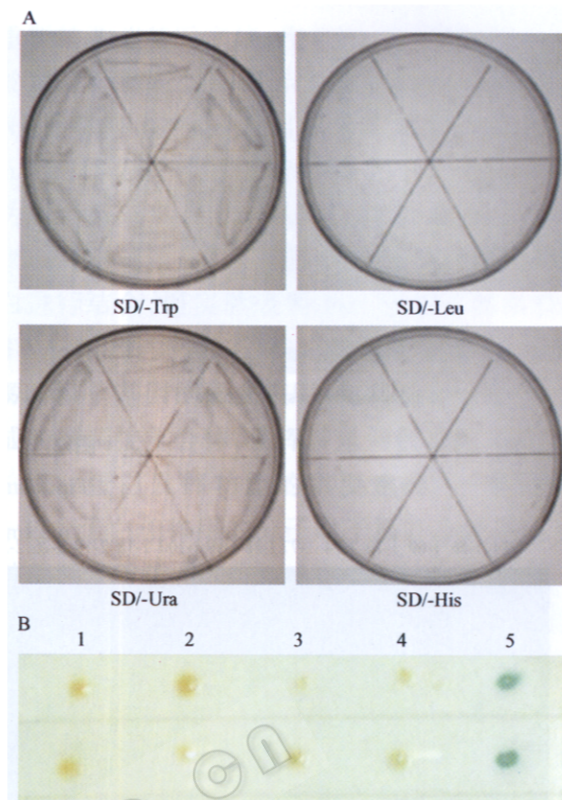


图 1 mPem 蛋白在酵母 AH109 中自激活活性检测

Fig. 1 Detection of autonomous activation of mPem

A: the pGBK7-mPem transformants were streaked on SD/-Leu, SD/-Trp, SD/-Ura, and SD/-His plate and cultured.

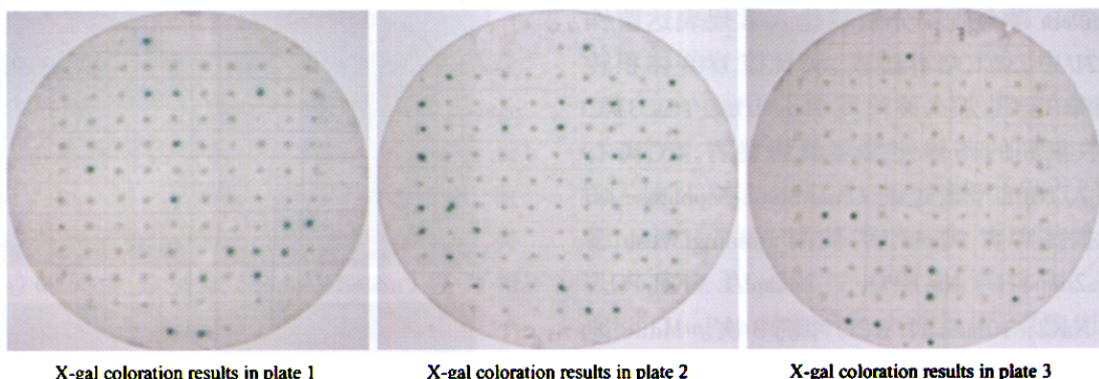
B: β -Galactosidase assays. 1 ~ 3: pGBK7-mPem transformants; 4: negative control (pGBK7-53/pGADT7-T cotransformants); 5: positive control (pGBK7-Lam/pGADT7-T cotransformants).

2.3 阳性酵母克隆的鉴定与分析

从 53 个阳性克隆中抽提酵母质粒并转入 *E. coli* DH5 α , 抽提质粒。PCR 扩增质粒中的 pACT2/library 插入片段, 获得 26 个 PCR 产物, 使用 *Hae* III 单酶切, 酶切后的样品走琼脂糖凝胶电泳(图 3), 以去除重复序列, 最后获得 7 个非重复克隆。将此 7 个非重复克隆递交上海博亚生物科技有限公司测序, 测序结果在 GenBank 上进行同源性搜索和序列比对分析, 获得 3 个与 mPem 相作用的蛋白, 其中之一为 Mdfic (MyoD family inhibitor domain containing)。

2.4 Mdfic 蛋白与 mPem 蛋白在酵母中的相互作用

为进一步在酵母中确认 Mdfic 蛋白与 mPem 蛋白之间的相互作用, PCR 方法扩增 pACT2-Mdfic 中的 *Mdfic* 插入片段, 并克隆至 pGBK7 载体中; 同时将 *mPem* 克隆至 pGADT7 载体中。将构建好的 pGBK7-Mdfic 和 pGADT7 空载体, pGBK7 空载体和 pGADT7-mPem, pGBK7-Mdfic 和 pGADT7-mPem 分



X-gal coloration results in plate 1 X-gal coloration results in plate 2 X-gal coloration results in plate 3

图 2 β -半乳糖苷酶活性检测

Fig. 2 β -Galactosidase assays

1-14 1-56 1-69 1-70 1-74 1-77 1-88 1-99 1-100 2-18 2-19 2-26 2-31 2-37 2-38 2-40 2-51 2-51 2-69 2-72 3-62 3-88 3-91 3-98 1-78 1-86

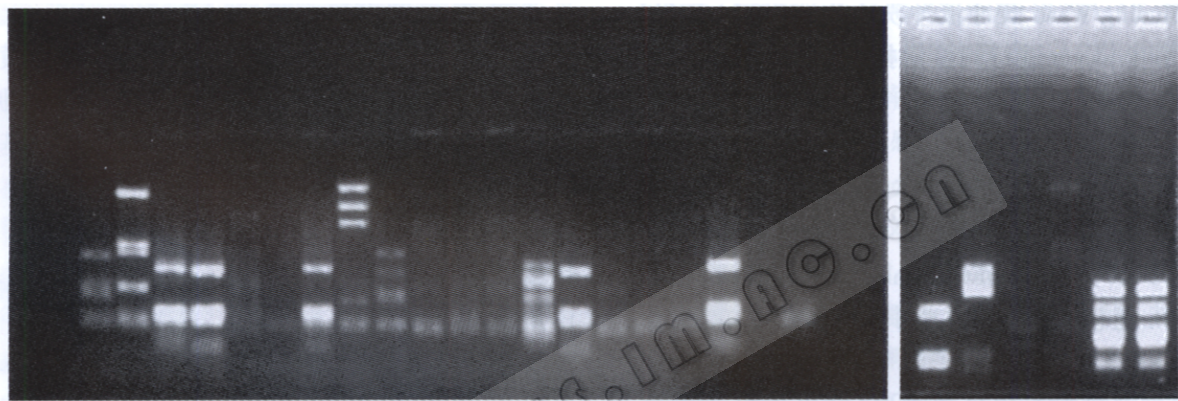


图 3 阳性酵母克隆中 pACT2/ library 插入片段的 Hae III 酶切结果

Fig. 3 Using Hae III digesting the pACT2/ library insert fragment in candidate yeast colony

别共转染酵母菌株 AH109，并将其分别划线在 SD/-Trp-Leu-Ade-His 选择培养基上。结果显示 pGBK7-Mdfic 和 pGADT7 空载体共转化子、pGBK7 空载体和 pGADT7-mPem 共转化子均不能够在 SD/-Trp-Leu-Ade-His 选择培养基上生长(图 4 a, b)，且 β -半乳糖

苷酶活性为阴性，表明单独的 Mdfic 蛋白和 mPem 蛋白本身都不能激活下游报告基因。pGBK7-Mdfic 和 pGADT7-mPem 共转子不仅能够在 SD/-Trp-Leu-Ade-His 选择培养基上生长，而且 β -半乳糖苷酶活性为阳性(图 4 c, d)。这些均表明 mPem 蛋白和 Mdfic 蛋

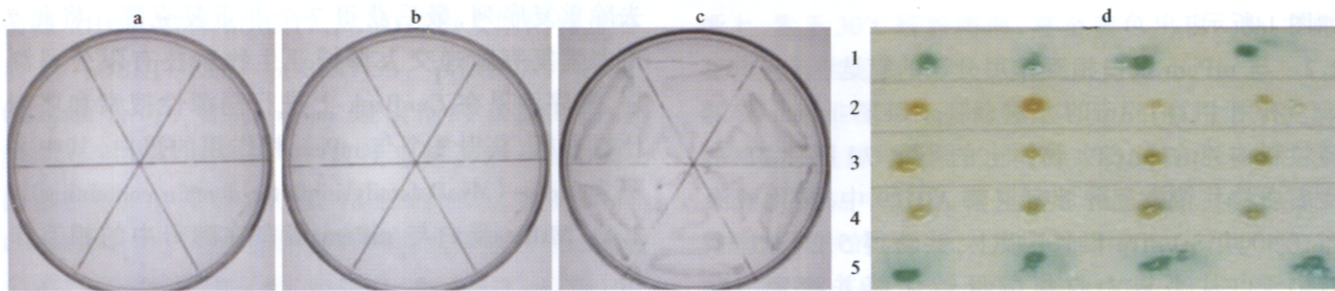


图 4 Mdfic 与 mPem 蛋白在酵母中的相互作用

Fig. 4 Interaction between mPem and Mdfic in yeast

a, b, c: pGBK7-Mdfic /pGADT7 cotransformants (a), pGBK7 /pGADT7-mPem cotransformants (b), pGADT7-mPem/pGBK7- Mdfic cotransformants (c) was streaked on SD/-Trp - Leu-His-Ade and cultured;

d: β -Galactosidase assays. Row 1: positive control (pGBK7-53/pGADT7-T cotransformants) ; Row 2: negative control (pGBK7-Lam/pGADT7-T cotransformants) ; Row 3: pGBK7-Mdfic/ pGADT7 cotransformants ; Row 4: pGBK7 /pGADT7-mPem cotransformants ; Row 5: pGADT7-mPem and pGBK7- Mdfic cotransformants .

白在酵母体内存在相互作用。

2.5 GST-pull down 试验证实 mPem 蛋白与 Mdfic 蛋白之间的相互作用

为进一步证实 mPem 蛋白与 Mdfic 蛋白之间的相互作用, 我们进行了 GST-pull down 试验。以 pGBKT7-Mdfic 为模板, 使用 TNT 体外转录翻译系统体外转录翻译 Mdfic 蛋白, 并用³⁵S-Met 标记。分别在 *E. coli* BL21 中表达 GST 和 GST-mPem 融合蛋白, 将其固着在 Glutathione-Sepharose 4B 颗粒上, 并和³⁵S-Met 标记的 Mdfic 蛋白混合。4℃过夜孵育后, 颗粒使用 Binding/Wash 缓冲液冲洗 3 次后走 SDS-PAGE 电泳, 结果利用 Typhoon 进行同位素扫描。结果显示 Mdfic 蛋白和 GST-mPem 融合蛋白结合而不能和 GST 单独结合(图 5)。这表明 Mdfic 蛋白确实能够在体外与 mPem 蛋白相互作用。



图 5 GST-pull down 实验

Fig. 5 GST-pull down assay

In-vitro translated Mdfic was incubated with immobilized beads and washed for three times by Binding/wash buffer. Bound proteins were analyzed by SDS-PAGE and scanned by TYPHOON.

1: *In-vitro* translated products of ³⁵S-Met-labeled Mdfic; 2: GST beads; 3: GST-mPem beads.

3 讨论

蛋白质在细胞的生命活动中扮演着重要的角色, 其功能的发挥不是孤立的, 是在纵横交错的网络中通过与其他分子的相互作用完成的。mPem 发现至今已有 10 多年, 但目前对 Pem 基因的研究主要集中于基因本身表达的调控和特异性表达, 以及配子形成过程中的时间和空间一致性方面, 从而提出 Pem 蛋白可能在胚胎发育、生殖组织发育、精子的生成和成熟中发挥重要作用, 但对于 Pem 蛋白究竟如何发挥作用却知之甚少。同源异型框基因家族是一

个重要的调节基因家族, 作为转录因子调控动物胚胎的发育。*Pem* 是同源异型框(homeobox)基因, 其 cDNA 序列中编码一个同源异型域^[2,3], 因此推测 Pem 蛋白作为转录因子与 DNA 结合。然而直到目前为止, 仍未找到 Pem 蛋白的核酸结合位点。Wilkinson 尝试用 *prd* 类基因的 DNA 结合序列与 Pem 蛋白进行结合, 但实验表明 Pem 蛋白不能结合 *prd* 的 DNA 结合序列(Willkinson 的私人通信)。对果蝇同源异型框基因的研究表明, 与其他转录因子一起, 组成转录调控复合体, 发挥转录调控功能, 也是许多 Homeobox 蛋白发挥功能的重要途径^[6]。因此寻找与 mPem 蛋白相作用的分子对于揭开小鼠 Pem 蛋白的功能具有重要意义。

本研究首先成功地构建了 pGBKT7-mPem 诱饵质粒, 自激活活性检测表明其本身不能够激活报告基因的转录。以 mPem 为诱饵蛋白, 利用酵母双杂交系统筛选小鼠 7d 胚胎 cDNA 文库, 共获得 3 个与 mPem 蛋白相作用的分子。其中之一为 Mdfic。再次的酵母双杂交和 GST-pull down 试验进一步确认了 Mdfic 和 mPem 蛋白之间的相互作用。

Mdfic(MyoD family inhibitor domain containing)基因, 是一个近年来新发现的基因, 因其编码 MyoD 抑制素结构域(I-mfa domain), 故命名为 *Mdfic*^[7]。MyoD 抑制素(Inhibitor of MyoD family, I-mfa)属于转录调节因子, 其主要特征是通过抑制 MyoD 家族成员的转录活性从而负向调控肌细胞的生长发育, 参与胚胎发育中肌细胞的分化和生长^[8]。MyoD 抑制素也可以抑制 Mash2 的转录激活, 在滋养层和软骨形成分化中发挥重要作用^[9]。I-mfa 特异性的富含半胱氨酸残基的结构域是 MyoD 抑制素功能发挥的关键结构, 它可以与许多 bHLH 类转录因子(螺旋-环-螺旋, helix-loop-helix)结合。当 I-mfa 结构域与转录因子结合后, 隐藏与其结合的转录因子的核定位信号, 使 bHLH 因子滞留在细胞质, 从而调控胚胎发育过程中的分化^[8,10]。

mPem 是同源异型框基因, 该基因家族是一个重要的调节基因家族, 作为转录因子调节动物胚胎的发育。而 *Mdfic* 是 MyoD 抑制素基因, 该基因家族亦属于转录调节因子, 同样在调控胚胎发育中发挥重要作用。*mPem* 蛋白与 *Mdfic* 蛋白之间相互作用的证实暗示 *mPem* 蛋白有可能是与 *Mdfic* 蛋白组成转录调控复合体, 共同参与胚胎发育过程中的分化调控, 这对两个蛋白功能的研究均提供了线索。

REFERENCES(参考文献)

- [1] Wilkinson MF, Kleeman J, Richards J et al. A novel oncofetal gene is expressed in a stage-specific manner in murine embryonic development. *Dev Biol.*, 1990, **141**(2): 451 - 455
- [2] Maiti S, Doskow J, Li S et al. The *Pem* homeobox gene: Androgen-dependent and independent promoters and tissue-specific alternative RNA splicing. *J Biol Chem.*, 1996, **271**(29): 17536 - 17546
- [3] Lin TP, Labosky PA, Grabel LB et al. The *Pem* homeobox gene is X-linked and exclusively expressed in extraembryonic tissues during early murine development. *Dev Biol.*, 1994, **166**(1): 170 - 179
- [4] Rayle RE. The oncofetal gene *Pem* specifies a divergent paired class homeodomain. *Dev Biol.*, 1991, **146**(1): 255 - 257
- [5] Lindsey S, Wilkinson MF. *Pem*: a testosterone- and LH-regulated homeobox gene expressed in mouse Sertoli cells and epididymis. *Dev*

Biol., 1996, **179**(2): 471 - 484

- [6] Fan Y, Melhem MF, Chaillot JR. Forced expression of the homeobox-containing gene *Pem* blocks differentiation of embryonic stem cells. *Dev Biol.*, 1999, **210**(2): 481 - 496
- [7] The RIKEN Genome Exploration Research Group Phase II Team and the FANTOM Consortium. Functional annotation of a full-length mouse cDNA collection. *Nature*, 2001, **409** (6821): 685 - 690
- [8] Chen CM, Kraut N, Groudine M et al. I-mf, a novel myogenic repressor, interacts with members of the MyoD family. *Cell*, 1996, **86**(5): 731 - 741
- [9] Kaut N, Snider L, Chen CM et al. Requirement of the mouse I-mfa gene for placental development and skeletal patterning. *The EMBO Journal*, 1998, **17**: 6276 - 6288
- [10] Jan YN, Jan LY. HLH protein, fly neurogenesis, and vertebrate myogenesis. *Cell*, 1993, **75**(5): 827 部 830 <http://journals.im.ac.cn>